

Отчёт по лабораторной работе 3.1.3.

Измерение магнитного поля Земли.

Работу выполнил Громов Артём
ЛФИ Б02-006

Долгопрудный, 2021 г.

1. Аннотация

Цель работы: определить характеристики шарообразных неодимовых магнитов и, используя законы взаимодействия магнитных моментов с полем, измерить горизонтальную и вертикальную составляющие индукции магнитного поля Земли и магнитное наклонение.

В работе используется: 12 одинаковых неодимовых магнитных шариков, тонкая нить для изготовления крутильного маятника, медная проволока диаметром (0,5 - 0,6) мм, электронные весы, секундомер, измеритель магнитной индукции АТЕ-8702, штангенциркуль, бруск из немагнитного материала ($25 \times 30 \times 60 \text{ mm}^3$), деревянная линейка, штатив из немагнитного материала; дополнительные неодимовые магнитные шарики (~ 20 шт.) и неодимовые магниты в форме параллелепипедов (2 шт.), набор гирь и разновесов.

Точечный магнитный диполь Простейший магнитный диполь может быть образован витком с током или постоянным магнитом. По определению, магнитный момент P_m тонкого витка площадью S с током I равен:

$$\vec{P}_m = (I/c)\vec{S} = (I/c)S\vec{n}, \quad (1)$$

где c — скорость света в вакууме, $S = S\vec{n}$ — вектор площади контура, образующий с направлением тока правовинтовую систему, \vec{n} — единичный вектор нормали к площадке S .

Магнитное поле точечного диполя определяется по формуле, аналогичной формуле для поля элементарного электрического диполя:

$$\vec{B} = 3 \left(\vec{P}_m \vec{r} \right) \vec{r} / r^5 - \vec{P}_m / r^3 \quad (2)$$

В магнитном поле с индукцией \vec{B} на точечный магнитный диполь \vec{P}_m действует механический момент сил:

$$\vec{M} = \vec{P}_m \times \vec{B} \quad (3)$$

Магнитный диполь в магнитном поле обладает энергией:

$$W = - \left(\vec{P}_m, \vec{B} \right) \quad (4)$$

В неоднородном поле на точечный магнитный диполь, кроме момента сил, действует ещё и сила:

$$\vec{F} = \left(\vec{P}_m, \vec{\nabla} \right) \vec{B} \quad (5)$$

Если магнитные моменты $P_1 = P_2 = P_m$ двух одинаковых небольших магнитов направлены вдоль соединяющей их прямой, а расстояние между ними равно r , то магниты взаимодействуют с силой:

$$F = P_m \partial B / \partial r = P_m \partial (2P_m / r^3) / \partial r = -6P_m^2 / r^4 \quad (6)$$

Неодимовые магнитные шары Для однородно намагниченного шара намагниченность равна:

$$\vec{p}_m = \vec{P}_m / V, \quad (7)$$

где V — объём шара.

Индукция магнитного поля B_p на полюсах однородно намагниченного шара связана с величиной намагниченности p_m и остаточной магнитной индукцией B_r формулой:

$$\vec{B}_p = (8\pi/3)\vec{p}_m = (2/3)\vec{B}_r \quad (8)$$

2. Экспериментальная установка

2.1. Определение величины магнитного момента шариков

Метод А.

Величину магнитного момента P_m одинаковых шариков можно рассчитать, зная их массу m и определив максимальное расстояние r_{max} , на котором они ещё удерживают друг друга в поле тяжести (см. рис. 1). При максимальном расстоянии сила тяжести шариков равна силе их магнитного притяжения:

$$6P_m^2/r_{max}^4 = mg, \quad P_m = \sqrt{\frac{mg r_{max}^4}{6}} \quad (9)$$

По величине магнитного момента P_m можно рассчитать величину индукции магнитного поля вблизи любой точки на поверхности шара радиуса R . Максимальная величина индукции наблюдаются на полюсах:

$$\vec{B}_p = 2\vec{P}_m/R^3 \quad (10)$$

Метод В.

Величину магнитного момента шариков можно определить также по силе их сцепления. Она определяется как сила, необходимая для разрыва двух сцепившихся магнитных шариков. Сила сцепления максимальна, если шары соединяются своими противоположными полюсами.

Максимальную силу сцепления можно определить по весу магнитной цепочки, которую способен удержать самый верхний магнитный шарик. Если цепь состоит из одинаковых магнитных шариков (см. рис. 2, а), то при определённой длине она отрывается от верхнего шарика. При этом, учитывая, что сила притяжения убывает как r в четвёртой степени (r — расстояния между центрами шаров) $F \sim 1/r^4$, для расчёта прочности цепочки достаточно учитывать силу взаимодействия верхнего шара с тремя-четырьмя ближайшими соседями.

Если сила сцепления двух одинаковых шаров диаметром d с магнитными моментами P_m равна:

$$F_0 = 6P_m^2/d^4, \quad (11)$$

то минимальный вес цепочки, при которой она оторвётся от верхнего шарика равен:

$$F = 6P_m^2/d^4 + 6P_m^2/(2d)^4 + \dots = F_0 (1 + 1/2^4 + 1/3^4 + 1/4^4 + \dots) \approx 1,08F_0. \quad (12)$$

Таким образом, сила сцепления двух шаров равна:

$$F_0 = F/1.08. \quad (13)$$

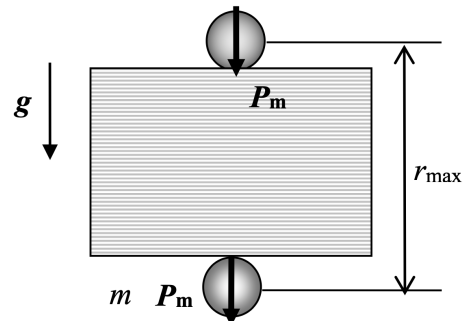


Рис. 1: Метод А.

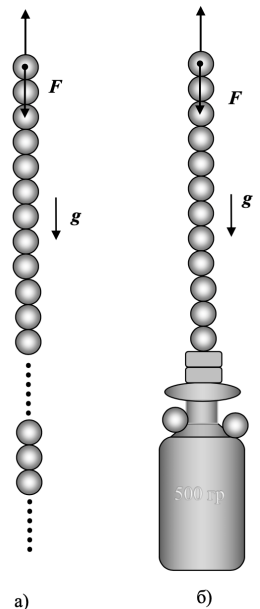


Рис. 2: Метод В.

2.2. Измерение горизонтальной составляющей индукции магнитного поля Земли

"Магнитная стрелка" образована из сцепленных друг с другом противоположными полюсами шариков и с помощью Л-образного подвеса подвешена в горизонтальном положении (см. рис. 3). Магнитные моменты шариков направлены в одну сторону вдоль оси "стрелки". Под действием вращательного момента $\vec{M} = \vec{P} \times \vec{B}$ магнитный момент "стрелки" \vec{P} выстроится вдоль горизонтальной составляющей магнитного поля \mathbf{g} Земли \vec{B}_h в направлении Юг \rightarrow Север. При отклонении "стрелки" на угол θ от равновесного положения в горизонтальной плоскости возникают крутильные колебания вокруг вертикальной оси, проходящей через середину стрелки. Если пренебречь упругостью нити, то уравнение крутильных колебаний такого маятника определяется возвращающим моментом сил $M = -P_0 B_h \sin \theta$, действующим на "стрелку" со стороны магнитного поля Земли, и моментом инерции I_n "стрелки" относительно оси вращения.

При малых амплитудах ($\sin \theta \approx \theta$) уравнение колебаний "стрелки" имеет вид:

$$I_n d^2\theta/dt^2 = -P_0 B_h \theta, \quad \text{или} \quad I_n \ddot{\theta} + P_0 B_h \theta = 0, \quad (14)$$

где $P_0 = nP_m$ — полный магнитный момент магнитной "стрелки" составленной из n шариков.

Момент инерции «стрелки», состоящей из n шариков с хорошей точностью равен моменту инерции тонкого однородного стержня массой $m_{ct} = nm$ и длиной $\ell_{ct} = nd$:

$$I_n = (1/12)m_{ct}\ell_{ct}^2 = (1/12)nm(nd)^2 = (1/12)n^3md^2 \quad (15)$$

Даже для трёх шариков момент инерции, рассчитанный по приближённой формуле, отличается от точного результата примерно на 2%, а для $n \geq 5$ — различие не превышает процента; если же учесть, что $T \sim \sqrt{I_n}$, то для всех $n \geq 3$ погрешность наших расчетов для периода колебаний T не превысит процента, что освобождает нас от необходимости вводить поправочные коэффициенты.

Таким образом, в нашем приближении период колебаний маятника оказывается пропорциональным числу шаров n , составляющих «стрелку»:

$$T(n) = 2\pi \sqrt{I_n/nP_m B_h} = \pi n \sqrt{md^2/3P_m B_h} = kn, \quad (16)$$

где $k = \pi \sqrt{md^2/3P_m B_h}$

При выводе этой формулы предполагалось, что магнитный момент — величина аддитивная: полный магнитный момент системы магнитов («стрелки») равен векторной сумме магнитных моментов шариков, составляющих «стрелку». Экспериментальное подтверждение этой зависимости ($T \sim n$) будет являться косвенным доказательством наших предположений о магнитожёсткости материала магнитов и, соответственно, свойства аддитивности магнитных моментов шаров.

2.3. Измерение вертикальной составляющей индукции магнитного поля Земли. Магнитное наклонение.

Для измерения вертикальной B_v составляющей вектора индукции поля Земли используется та же установка, что и для измерения горизонтальной составляющей с тем лишь

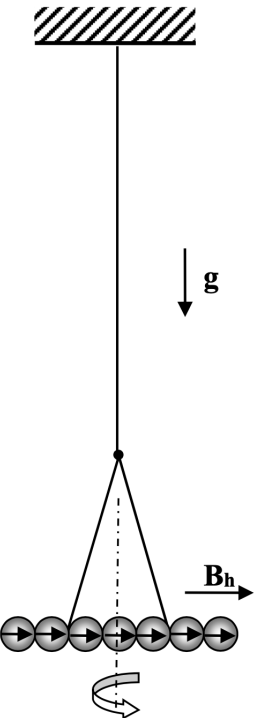


Рис. 3: Крутильный маятник.

отличием, что магнитная «стрелка» подвешивается на нити без Л-образного подвеса. В этом случае магнитная «стрелка», составленная из чётного числа шариков и подвешенная на тонкой нити за середину, расположится не горизонтально, а под некоторым углом к горизонту (см. рис. 4, а). Это связано с тем, что вектор \vec{B} индукции магнитного поля Земли в общем случае не горизонтален, а образует с горизонтом угол β , зависящим от географической широты ϕ места, где проводится опыт. Величина угла β называется магнитным наклонением.

С помощью небольшого дополнительного грузика «стрелку» можно «выровнять», расположив её горизонтально (см. рис. 4, б): в этом случае момент силы тяжести груза относительно точки подвеса будет равен моменту сил, действующих на «стрелку» со стороны магнитного поля Земли. Если масса уравновешивающего груза равна $m_{\text{гр}}$ плечо силы тяжести $r_{\text{гр}}$, а полный магнитный момент «стрелки» $P_0 = nP_m$, то в равновесии:

$$m_{\Gamma p}g r_{\Gamma p} = P_0 B_v = n P_m B_v, \quad (17)$$

где B_v — вертикальная составляющая поля Земли.

Видно, что момент $M(n)$ силы тяжести уравновешивающего груза пропорционален числу n шариков, образующих магнитную «стрелку»:

$$M(n) = An, \text{ где } A = P_m B_v \quad (18)$$

3. Результаты измерений и обработка данных

3.1. Определение магнитного момента, намагниченности и остаточной магнитной индукции вещества шариков

Метод А

Взвесим шарики на весах. Чтобы магнитное поле не повлияло, добавим между шариками и весами толстый слой бумаги. Чтобы убедиться, что магнитное поле не влияет, добавим еще бумаги, и увидим, что значение на весах не меняется. $M_{\text{ш}} = 39.43 \text{ г}$, $\Delta M_{\text{ш}} = 0.01 \text{ г}$, $L = 27.5 \text{ см}$, $\Delta L = 0.2 \text{ см}$, $N = 47$, $m_{\text{ш}} = \frac{M_{\text{ш}}}{N} = (0.839 \pm 0.001) \text{ г}$, $d = (0.585 \pm 0.004) \text{ см}$.

Измеряя толщину прослойки и учтя диаметр шариков, получим $r_{\text{max}} = (2.49 \pm 0.01) \text{ см}$. Отсюда

$$P_m = \sqrt{\frac{m_{\text{ш}} g r_{\text{max}}^4}{6}} = (72 \pm 2) \text{ эрг/Гс}$$

Рассчитаем намагниченность материала шариков:

$$p_m = P_m / V = 3P_m / (\pi d^3) = (346 \pm 11) \text{ эрг/(Гс} \cdot \text{см}^3)$$

Рассчитаем значение магнитного поля на полюсе:

$$B_p = (8\pi/3)p_m = (2.9 \pm 0.1) \text{ кГс}$$

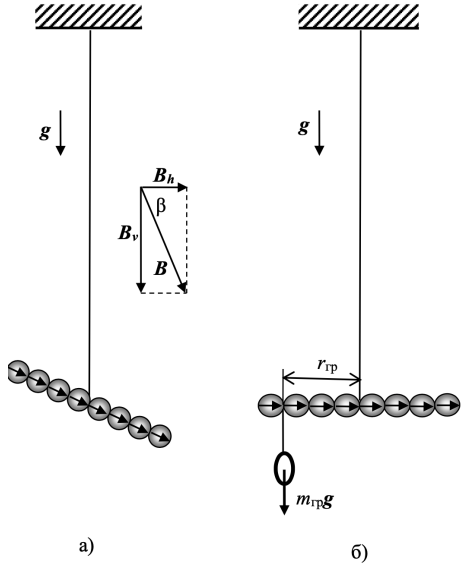


Рис. 4: Определение вертикальной составляющей поля Земли.

Теперь измерим B_p с помощью магнитометра. Получаем $B_p = (3.00 \pm 0.16)$ кГс. Результаты совпадают в пределах погрешности.

Рассчитаем величину остаточной магнитной индукции материала, из которого изготовлен магнитный шарик.

$$B_r = 4\pi p_m = (4.35 \pm 0.15) \text{ кГс}$$

Сравним наш результат с табличными значениями B_r для соединения неодим-железобор. В справочнике оно лежит в пределах (9.4 - 14.0) кГс. Мы получили значение меньше, чем справочное. Это можно объяснить постепенным размагничиванием, которое вызвано механическими воздействиями на шарики.

Метод В

Составим цепочку, в которой сначала идут все 47 шариков, потом неодимовые магниты в форме параллелепипедов подсоединяют цепочку к гире и разновесам, так, чтобы общая масса системы составила 500 г (рис. 2. б). Добавляя или удаляя шарики (шарики можно примагничивать непосредственно к гире), подберём минимальный вес F системы цепочки с гирей, при котором она отрывается от верхнего шарика.

Взвесим всю цепочку. Получаем $F = (273 \pm 5)$ кдин. Сила сцепления двух шаров: $F_0 = F/1.08 = (252 \pm 5)$ кдин. Тогда из формулы $F_0 = 6P_m^2/d^4$ получаем:

$$P_m = \sqrt{F_0 d^4 / 6} = (70 \pm 3) \text{ эрг/Гс.}$$

Здесь учтено, что погрешность поправочного коэффициента 1.08 не больше 1 процента.

Поле на полюсах $B_p = (8\pi/3)p_m = (2.8 \pm 0.2)$ кГс, совпадает с измеренным магнитометром в пределах погрешности. Метод А дает более точный результат, т.к. его погрешность меньше

3.2. Определение горизонтальной составляющей магнитного поля Земли

Соберем крутильный маятник и, используя Л-образный подвес, установим «магнитную стрелку» из 12 магнитных шариков в горизонтальном положении (юстировка системы).

Покажем, что упругость нити можно не учитывать. Измерим период колебаний кольца. $T \approx 60$ с. Введем эффективный коэффициент упругости нити χ : $I\ddot{\phi} + \chi\phi = 0$. Момент инерции кольца можно оценить как

$$I = \frac{12mR^2}{2} = 6.3 \text{ г} \cdot \text{см}/\text{с}^2.$$

Так как $T = 2\pi\sqrt{\chi/I}$, то $\chi_{\text{нити}} = (2\pi/T)^2 I \approx 6 \cdot 10^{-2} \text{ г} \cdot \text{см}/\text{с}^4$

Найдем диапазон χ у магнитной стрелы. $T_{max} = 3.21$ с, $T_{min} = 0.87$ с, $I_{max} = 41 \text{ г} \cdot \text{см}/\text{с}^2$, $I_{min} = 0.7 \text{ г} \cdot \text{см}/\text{с}^2$. Получаем $\chi_{\text{стрелы}} \in [33, 158] \text{ г} \cdot \text{см}/\text{с}^4$, что много больше, чем $\chi_{\text{нити}}$, поэтому влияние нити можем не учитывать.

Исследуем зависимость периода T крутильных колебаний стрелки от количества магнитных шариков. Будем отсчитывать 20 колебаний, и записывать в таблицу только период. Время реакции человека $T_{peak} = 1$ с. $\Delta T = T_{peak}/20 = 0.05$ с. Данные отражены на таблице 1.

Таблица 1.
Исследование зависимости T от количества шариков

T, с	3.21	2.89	2.55	2.38	1.9	2.13	0.87	1.6	1.4	1.16
n	12	11	10	9	7	8	3	6	5	4

Построим график $T(n)$ (рис. 8).

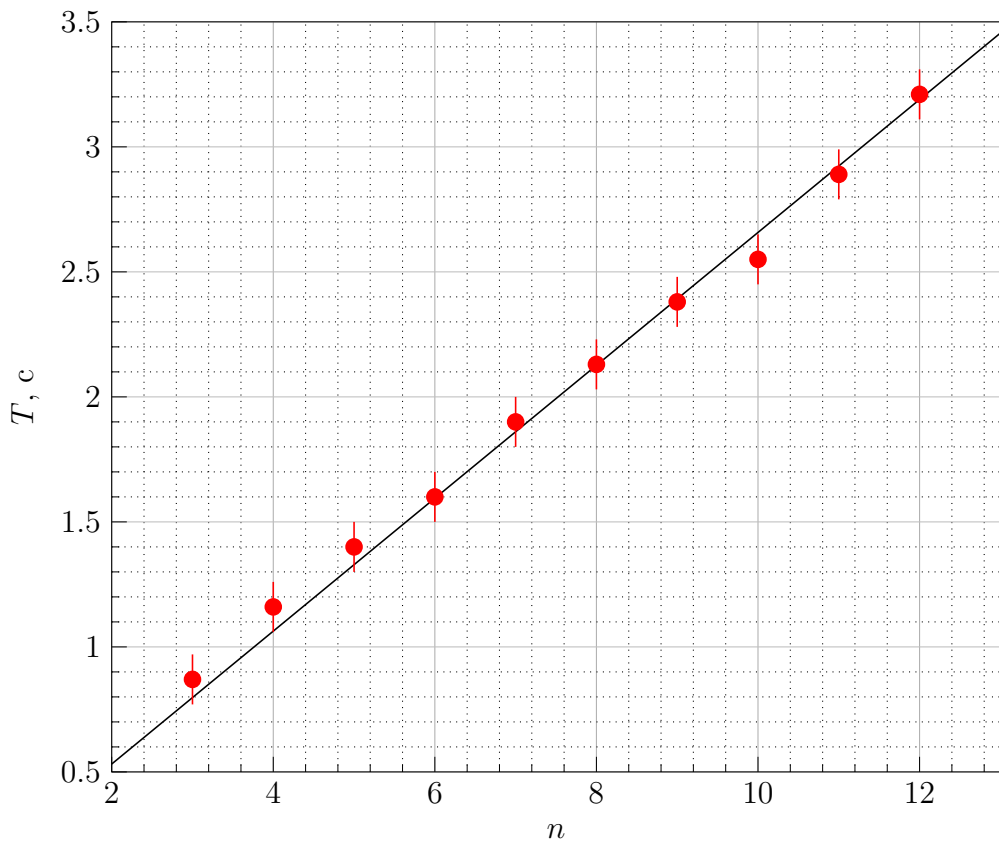


Рис. 5: График зависимости T от n .

Видим, что график это прямая пропорциональность $T = kn$. Из МНК получаем коэффициент $k = (0.251 \pm 0.007)$ с, $\chi^2/(10 - 2) = 0.76$. По значению углового коэффициента k рассчитаем величину горизонтальной составляющей магнитного поля Земли по формуле: $B_h = \pi^2 md^2 / (3k^2 P_m) = (0.21 \pm 0.01)$ Гс

3.3. Определение вертикальной составляющей магнитного поля Земли

Изготовим магнитную «стрелку» из $n = 10$ шариков и подвесим её за середину с помощью нити на штативе (см. рис. 4, а). Приведем магнитную стрелку в горизонтальное положение, уравновесив ее с помощью кусочков проволоки. Повторим это для нескольких чётных значений n и занесём данные в таблицу 2, $\Delta M = 0.03$ г.

Таблица 2.
Исследование зависимости T от количества шариков

M, эрг	114.6	229.3	343.0	458.6	478.2
l, см	0.585	1.17	1.755	2.34	2.925
m, г	0.20	0.20	0.20	0.20	0.16
n	4	6	8	10	12

Построим график $M(n)$

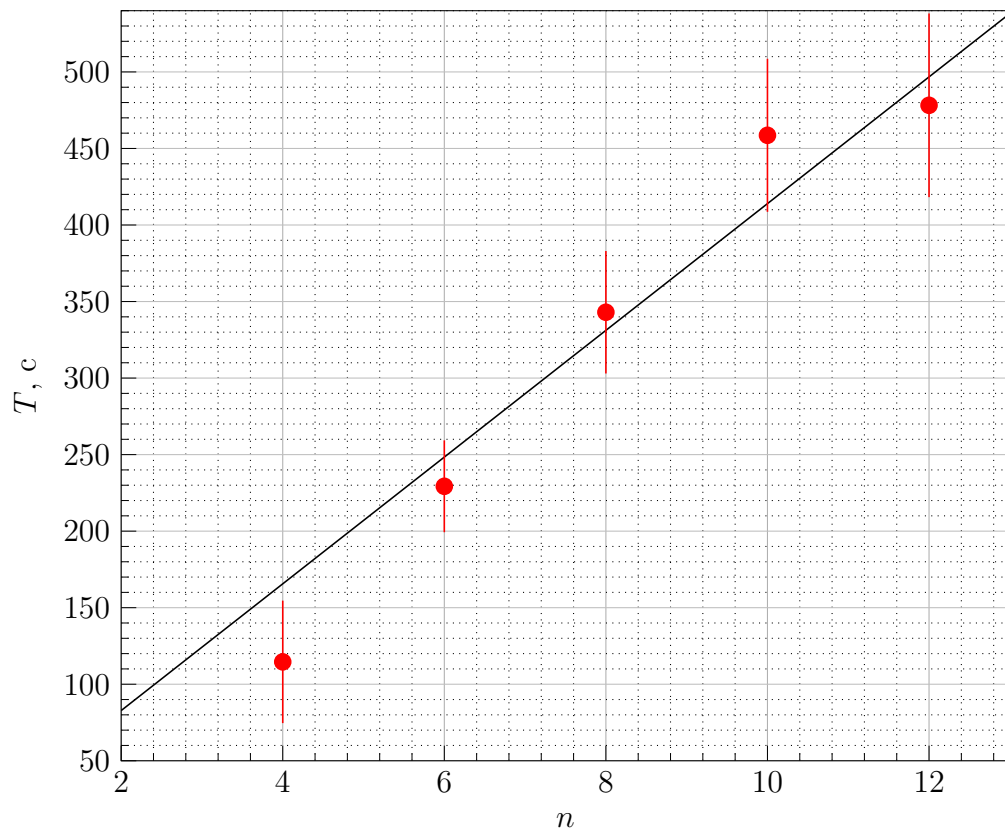


Рис. 6: График зависимости M от n

Аппроксимируем график прямой $M = An$. Из МНК получаем $A = (48 \pm 6)$ эрг, $\chi^2/(5 - 2) = 0.6$. Отсюда $B_v = A/P_m = (0.6 \pm 0.1)\text{Гс}$, $\beta = \arctan(B_v/B_h) = (73 \pm 3)^\circ$

4. Вывод

Согласно справочным данным: $B_v = 0.5 \text{ Гс}$, $B_h = 0.15 - 0.20 \text{ Гс}$, $\beta = 70^\circ$, результаты работы согласуются с ними.